

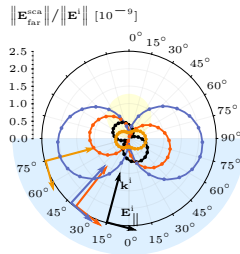
# *Optical Properties of partially embedded Nanospheres*

Examen de maestría: Propiedades ópticas de nanoesferas parcialmente embebidas

Fís. Jonathan Alexis Urrutia Anguiano<sup>1</sup>

Facultad de Ciencias, UNAM  
Dr. Alejandro Reyes Coronado<sup>1</sup>

<sup>1</sup>Departamento de Física,  
Facultad de Ciencias, UNAM



# Antecedentes

## Metasuperficies plasmónicas para biosensado

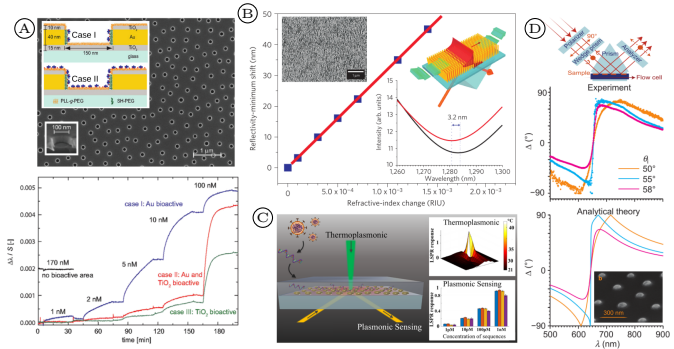
- Arreglos bidimensionales de **nanoestructuras metálicas** (meta-átomos) soportadas por un sustrato.<sup>1</sup>

### Meta-átomos

- Geometría
- Material
- Distribución
  - Desordenada<sup>4,5</sup>
  - Periódica<sup>2,3</sup>
- **Perfecto soporte sobre sustrato**

### Respuesta óptica

- Resultados experimentales<sup>2,3,4,5</sup>
- Simulaciones numéricas<sup>2,3,4</sup>
- Teorías de medio efectivo<sup>5</sup>



<sup>1</sup> A. K. González-Alcalde et al. *Optics Communications*, **475**:126289, 2020

<sup>2</sup>, A L. Feuz et al. *ACS Nano*, **4**(4):2167-2177, 2010

<sup>3</sup>, B A. V. Kabashin et al. *Nature Materials*, **8**(11):867-871, 2009

<sup>4</sup>, C G. Qiu et al. *ACS Nano*, **14**(5):5268-5277, 2020

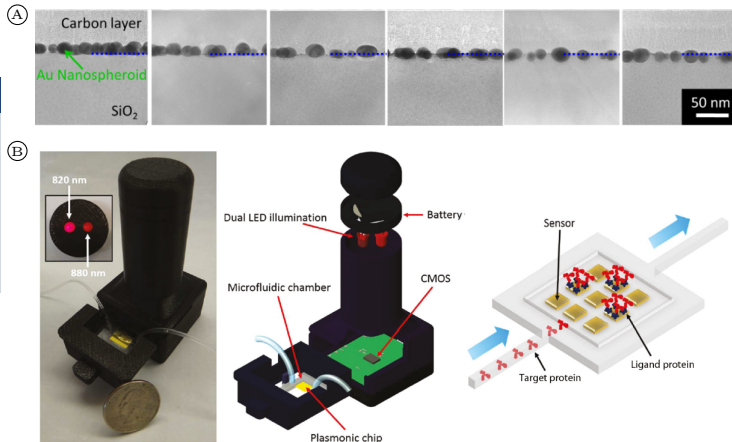
<sup>5</sup>, D M. Svedendahl et al. *Light: Science & Applications*, **3**(11):e220-e220, 2014

# Objetivo

Estudio del incrustamiento parcial de meta-átomos en el sustrato

## Incrustamiento de meta-átomos

- ▶ Proceso de fabricación<sup>1</sup>
- ▶ Característica deseable para biosensado
  - ▶ Acoplamiento con sistemas de microfluídica<sup>2</sup>
- ▶ ¿Detección óptica?



<sup>1, A</sup> X. Meng et al. *AIP Adv.*, **5**(2):027112, 2015

<sup>2, B</sup> G. A. Lopez et al. *Nanophotonics*, **6**(1):123-136, 2017

# Sistema de interés

Meta-átomo: Nanopartícula (NP) esférica de oro (Au) apta para biosensado

FC-UNAM<sup>1</sup> – INAOE<sup>2</sup>

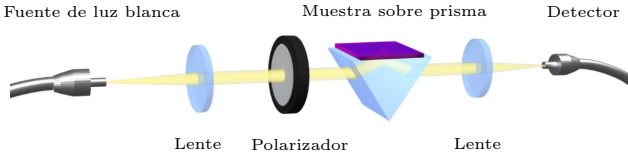
Desarrollo de un biosensor plasmónico:

- ▶ Colaboración teórico-experimental
- ▶ Metasuperficie desordenada
- ▶ Mediciones de reflectancia

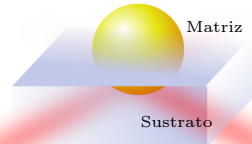
Meta-átomo:

- ▶ AuNP esférica
- ▶ Radio  $a$ : 12.5 nm
- ▶ Matriz: Aire
- ▶ Sustrato: Vidrio
- ▶ Incrustamiento parcial

Esquema del sistema experimental<sup>3</sup>:



Esquema del meta-átomo:



<sup>1</sup> Grupo de Nanoplasmónica

<sup>2</sup> Grupo de Biofotónica y Grupo de Optoelectrónica de semiconductores orgánicos e híbridos

<sup>3</sup> Esquema realizado Juan Pablo Cuanalo Fernández.

# Contenido

## 1 Teoría

Esparcimiento por una partícula esférica

Método de elemento finito

Condiciones de frontera abiertas

## 2 Resultados

Esfera soportada y completamente embebida

    Incidencia normal

    Incidencia oblicua

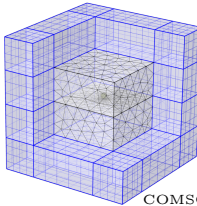
Esfera parcialmente incrustada

    Incidencia normal

    Incidencia oblicua

## 3 Conclusiones y trabajo a futuro

Fotografía de Gustav Mie alrededor de 1905<sup>1</sup>

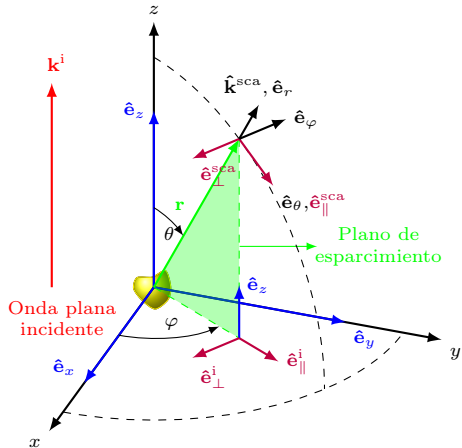


COMSOL Multiphysics™ Ver. 5.4

<sup>1</sup> H. Horvath. *Journal of Quantitative Spectroscopy and Radiative Transfer*, 110(11):787-799, 2009. Number: 11

# Esparcimiento por una partícula

Secciones transversales de absorción, esparcimiento y extinción



Teorema óptico<sup>1</sup> y operador de campo lejano<sup>2</sup>:

$$C_{\text{ext}} = C_{\text{abs}} + C_{\text{sca}}$$

$$\mathbf{E}^{\text{sca}} = \frac{\exp(i\hat{\mathbf{k}}^{\text{sca}} \cdot \mathbf{r})}{r} \mathbb{F}(\hat{\mathbf{k}}^{\text{sca}}, \hat{\mathbf{k}}^{\text{i}}) \mathbf{E}^{\text{i}}$$

$$C_{\text{abs}} = \frac{1}{2} \int_V \frac{\text{Re}(\mathbf{J} \cdot \mathbf{E}^{\text{int}*})}{\|\mathbf{E}_0^{\text{i}}\|^2 / 2Z_{\text{mat}}} dV = \int_V \omega Z_{\text{mat}} \text{Im}(n_p^2) \frac{\|\mathbf{E}^{\text{int}}\|^2}{\|\mathbf{E}_0^{\text{i}}\|^2} dV$$

$$C_{\text{sca}} = \frac{2Z_{\text{mat}}}{\|\mathbf{E}_0^{\text{i}}\|^2} \oint_S \langle \mathbf{S}^{\text{sca}} \rangle_t \cdot d\mathbf{a} = \oint_S \frac{\left\| \mathbb{F}(\hat{\mathbf{k}}^{\text{sca}}, \hat{\mathbf{k}}^{\text{i}}) \mathbf{E}^{\text{i}} \right\|^2}{\|\mathbf{E}_0^{\text{i}}\|^2} da$$

$$C_{\text{ext}} = \frac{4\pi}{k\|\mathbf{E}_0^{\text{i}}\|^2} \text{Im} \left[ \mathbf{E}_0^{\text{i}} \cdot \mathbb{F}^*(\hat{\mathbf{k}}^{\text{i}}, \hat{\mathbf{k}}^{\text{i}}) \mathbf{E}^{\text{i}*} \right]$$

<sup>1</sup> C. F. Bohren et al. *Absorption and Scattering of Light by Small Particles*. Wiley Science Paperbk Series. John Wiley & Sons, 1.<sup>a</sup> edición, 1983

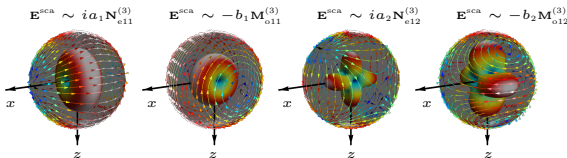
<sup>2</sup> L. Tsang et al. *Scattering of Electromagnetic Waves: Theories and Applications*. John Wiley & Sons, Inc., New York, USA, 2000

# Solución de Mie<sup>1,2</sup>

Espaciamiento por partículas esféricas embebidas en medios infinitos

$$\mathbf{E}^i(\mathbf{r}) = E_0 \sum_{\ell=1}^{\infty} \frac{i^\ell (2\ell+1)}{\ell(\ell+1)} \left( \mathbf{M}_{o1\ell}^{(1)} - i\mathbf{N}_{e1\ell}^{(1)} \right)$$

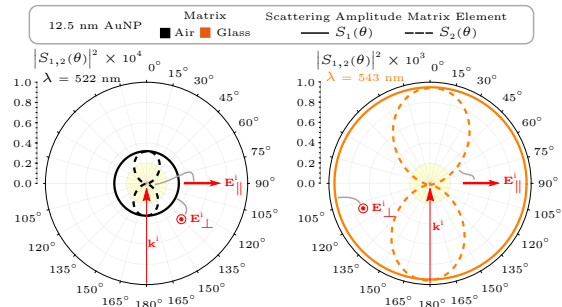
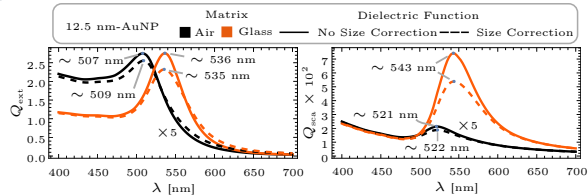
$$\mathbf{E}^{sca}(\mathbf{r}) = E_0 \sum_{\ell=1}^{\infty} \frac{i^\ell (2\ell+1)}{\ell(\ell+1)} \left( ia_\ell \mathbf{N}_{e1\ell}^{(3)} - b_\ell \mathbf{M}_{o1\ell}^{(3)} \right)$$



$$\mathbb{F}(\hat{\mathbf{k}}^{sca}, \hat{\mathbf{k}}^i) = \begin{pmatrix} \frac{i}{k} S_2(\theta) & 0 \\ 0 & \frac{i}{k} S_1(\theta) \end{pmatrix}$$

$$S_1(\theta) = \sum_{\ell=1}^{\infty} \frac{2\ell+1}{\ell(\ell+1)} [a_\ell \tau_\ell(\cos \theta) + b_\ell \pi_\ell(\cos \theta)]$$

$$S_2(\theta) = \sum_{\ell=1}^{\infty} \frac{2\ell+1}{\ell(\ell+1)} [a_\ell \pi_\ell(\cos \theta) + b_\ell \tau_\ell(\cos \theta)]$$



<sup>1</sup> C. F. Bohren et al. *Absorption and Scattering of Light by Small Particles*. Wiley Science Paperbk Series. John Wiley & Sons, 1.<sup>a</sup> edición, 1983

<sup>2</sup> L. Tsang et al. *Scattering of Electromagnetic Waves: Theories and Applications*. John Wiley & Sons, Inc., New York, USA, 2000

# Problema de valores propios de Maxwell

Formulación fuerte y débil del problema de esparcimiento de luz en un volumen  $\Omega$

## Formulación fuerte<sup>1</sup>: Ecuación diferencial

$$\nabla \times [\mu^{-1} \nabla \times \mathbf{E}] - \kappa^2 \mathbf{E} = \mathbf{0}, \quad \text{donde} \quad \kappa^2 = (i\omega\sigma + \omega^2 \epsilon)$$

- ▶ Condiciones de frontera de Dirichlet (D) y de Neumann (N)

$$\hat{\mathbf{n}} \times \mathbf{E}(\mathbf{r}) \Big|_{\partial\Omega} = \mathbf{E}_D \quad \mu^{-1} \nabla \times \mathbf{E} \times \hat{\mathbf{n}} \Big|_{\partial\Omega} = \mathbf{E}_N$$

## Formulación débil<sup>1,2</sup>: Ecuación integral con el uso de la función de prueba $\boldsymbol{\eta}(\mathbf{r})$

- ▶ Simplificación mediante integración por partes y teorema de Gauss

$$\int_{\Omega} \left\{ (\mu^{-1} \nabla \times \mathbf{E}) \cdot (\nabla \times \boldsymbol{\eta}) - \kappa^2 \cdot \mathbf{E} \cdot \boldsymbol{\eta} \right\} d\Omega - \oint_{\partial\Omega} (\boldsymbol{\eta} \times \mathbf{E}_N) \cdot \hat{\mathbf{n}} d(\partial\Omega) = 0$$

- ▶ Condiciones de frontera

$$\hat{\mathbf{n}} \times \mathbf{E}(\mathbf{r}) \Big|_{\partial\Omega} = \mathbf{E}_D.$$

<sup>1</sup> G. Dhatt et al. *Finite element method*. Numerical methods series. ISTE ; Wiley, London : Hoboken, N.J, 2012

<sup>2</sup> J.-M. Jin. *Theory and Computation of Electromagnetic Fields*. Wiley & Sons, 2010

# Aproximación de elemento finito y método de Galerkin

## Conceptos fundamentales

Sistema de ecuaciones diferenciales en  $\Omega$ :  $\mathcal{L}[u(\mathbf{r})] - f_\Omega = 0 \iff \int_\Omega \{\mathcal{L}[u(\mathbf{r})] - f_\Omega\} \psi(\mathbf{r}) d\Omega = 0$

### Aproximación nodal<sup>1,2</sup>

- ▶ Combinación lineal:

$$u(\mathbf{r}) \approx \sum_i^N u_i \phi_i(\mathbf{r})$$

- ▶ Funciones de interpolación :

$$\{\phi_i\}_{i \leq N}$$

- ▶ Nodos con valores exactos:

$$u_i = u(\mathbf{r}_i), \quad \mathbf{r}_i \in \Omega$$

### Elemento finito<sup>1-4</sup> $\Omega_k$

- ▶ Geometría

$$\bigcup_{k=1}^M \Omega_k = \Omega \quad \bigcap_{k=1}^M \Omega_k = \emptyset$$

- ▶ Espacio de funciones polinomiales

$$\{\phi_{i_k}\}_{i_k \leq N_k}$$

- ▶ Funcional lineal

$$\mathcal{F}_{\ell_k}[\phi_{i_k}] = \delta_{\ell_k i_k}$$

### Método de Galerkin<sup>4</sup>

- ▶ Formulación débil del problema en  $\Omega_k$

- ▶ Funciones de prueba:

$$\{\psi_{i_k}\}_{i_k \leq N_k} = \{\phi_{i_k}\}_{i_k \leq N_k}$$

- ▶ Sistema de ecuaciones algebraicas:

$$\mathbf{A}\mathbf{u} = \mathbf{f}$$

donde

$$A_{i_k j_k} = \int \phi_{i_k}(\mathbf{r}) \mathcal{L}[\phi_{j_k}(\mathbf{r})] d\Omega,$$
$$u_{i_k} = u(\mathbf{r}_{i_k}) \text{ y}$$
$$f_{j_k} = \int f_\Omega \phi_{j_k}(\mathbf{r}) d\Omega.$$

<sup>1</sup> G. Dhatt et al. *Finite element method*. Numerical methods series. ISTE ; Wiley, London : Hoboken, N.J, 2012

<sup>2</sup> M. G. Larson et al. *The Finite Element Method: Theory, Implementation, and Applications*. Volumen 10 de *Texts in Computational Science and Engineering*. Springer Berlin Heidelberg, Berlin, Heidelberg, 2013

<sup>3</sup> J.-M. Jin. *Theory and Computation of Electromagnetic Fields*. Wiley & Sons, 2010

<sup>4</sup> C. A. J. Fletcher. *Computational Galerkin Methods*. Springer Berlin Heidelberg, Berlin, Heidelberg, 1984

# Implementación numérica del problema de esparcimiento de luz

Familia de elementos finitos de Nédélec<sup>1,2</sup>

## Aproximación nodal

$$\mathbf{E}(\mathbf{r}) \approx \sum_{i_k} e_{i_k} \boldsymbol{\eta}_{i_k}(\mathbf{r}) \quad e_i = \hat{\mathbf{t}}_{i_k} \cdot \mathbf{E}(\mathbf{r} \in E_{i_k})$$

## Método de Galerkin

$$\mathbb{A}\mathbf{e} = \mathbf{0}$$

$$A_{ij} = \int_{\Omega_k} \left\{ (\mu^{-1} \nabla \times \boldsymbol{\eta}_i) \cdot (\nabla \times \boldsymbol{\eta}_j) - \kappa^2 \cdot \boldsymbol{\eta}_i \cdot \boldsymbol{\eta}_j \right\} d\Omega_k + \oint_{\partial\Omega} (\boldsymbol{\eta}_j \times \mathbf{E}_N) \cdot \hat{\mathbf{n}} d(\partial\Omega)$$

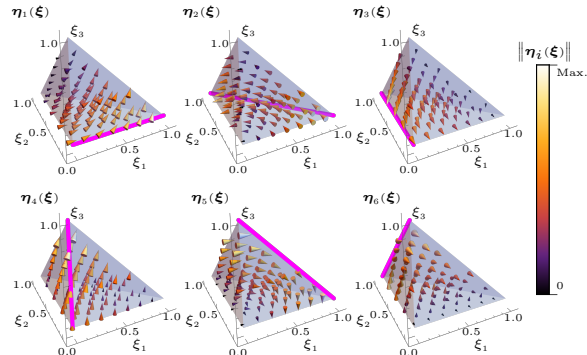
## Funcional de Nédélec de menor orden

$$\mathcal{F}_{i_k}^N[\boldsymbol{\eta}_{\ell_k}(\xi)] = \frac{1}{|E_{i_k}|} \left( \int_{E_{i_k}} \hat{\mathbf{t}}_{i_k} \cdot \boldsymbol{\eta}_{\ell_k}(\xi) d(\partial\Omega_k) \right)^{1/2}$$

Para geometrías triangulares:

$$\boldsymbol{\eta}_{i_k} = |E_{i_k}| (\phi_{j_k} \nabla \phi_{\ell_k} - \phi_{\ell_k} \nabla \phi_{j_k})$$

$$\mathcal{F}_{\ell_k}^L[\phi_{j_k}(\xi)] = \phi_{j_k}(\xi_{\ell_k})$$



<sup>1</sup> J.-M. Jin. *Theory and Computation of Electromagnetic Fields*. Wiley & Sons, 2010

<sup>2</sup> M. G. Larson et al. *The Finite Element Method: Theory, Implementation, and Applications*. Volumen 10 de *Texts in Computational Science and Engineering*. Springer Berlin Heidelberg, Berlin, Heidelberg, 2013

# Condiciones de frontera abiertas

Simulando medios infinitos

**Condición de radiación de Sommerfeld<sup>1</sup>:** Comportamiento en el campo lejano

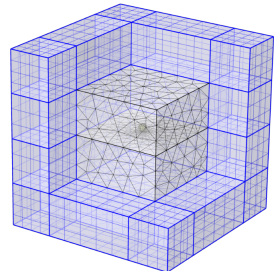
$$\lim_{r \rightarrow \infty} \left( \hat{\mathbf{e}}_r \times \mathbf{E} - \sqrt{\frac{\mu}{\epsilon}} \mathbf{H} \right) = \lim_{r \rightarrow \infty} r(\nabla \times \mathbf{E} - ik\hat{\mathbf{e}}_r \times \mathbf{E}) = 0$$

**Perfect Matching Layer<sup>2</sup>:** Película ( $\Omega_{\text{PML}}$ ) sin impedancia y absorbente basada en su geometría:

$$\left. \begin{array}{l} \epsilon_\Omega = \epsilon_{\text{PML}}, \quad \mu_\Omega = \mu_{\text{PML}} \\ s_x^{(\Omega)} = s_x^{(\text{PML})}, \quad s_y^{(\Omega)} = s_y^{(\text{PML})} \end{array} \right\} \implies r_s = r_p = 0.$$

## Método de Galerkin<sup>3</sup>

$$\begin{aligned} \mathbb{A}\mathbf{e} = \mathbf{0} &\quad \text{con} \quad \text{con } \mathbb{A} \text{ y } \mathbf{e} \text{ como en la diapositiva anterior,} \\ \mathbb{A} = \text{diag}\left(s_z, s_z, s_z^{-1}\right), &\quad \text{con} \quad s_z = 1 \text{ en } \Omega \text{ y } \text{Im}[s_z] < 0 \text{ en } \Omega_{\text{PML}}, \\ (\mu^{-1} \nabla \times \boldsymbol{\eta}_i) \cdot (\nabla \times \boldsymbol{\eta}_j) &\quad \rightarrow \quad \left(\mathbb{A}^{-1} \mu^{-1} \nabla \times \boldsymbol{\eta}_i\right) \cdot (\nabla \times \boldsymbol{\eta}_j), \\ \boldsymbol{\eta}_i \cdot \boldsymbol{\eta}_j &\quad \rightarrow \quad \boldsymbol{\eta}_i \cdot \mathbb{A} \boldsymbol{\eta}_j. \end{aligned}$$



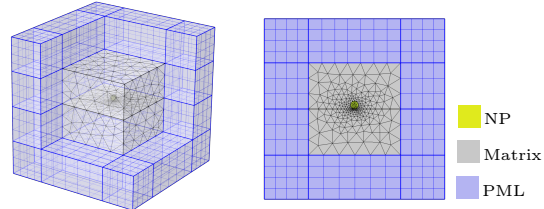
<sup>1</sup> S. Silver. *Microwave Antenna Theory and Design*. The Institution of Engineering and Technology, 1984. 640 páginas

<sup>2</sup> W. C. Chew et al. *Microwave and Optical Technology Letters*, 15(6):363-369, 1997

<sup>3</sup> J.-M. Jin. *Theory and Computation of Electromagnetic Fields*. Wiley & Sons, 2010

# Análisis de convergencia

Comsol vs Mie: 12.5 AuNP@Aire y 12.5 AuNP@BK7

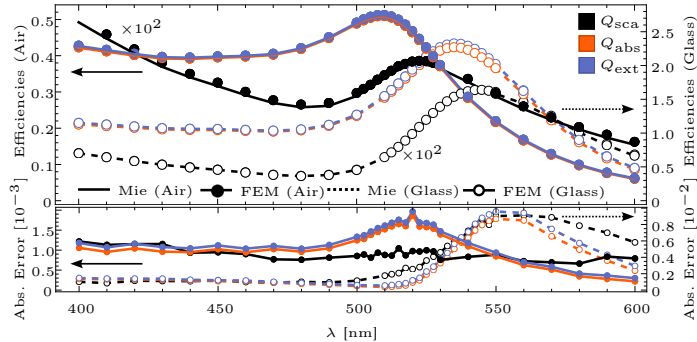


Tamaño del elemento (matriz):  $\lambda/(6n_m)$

Tamaño del elemento (esfera):  $a/5$

Tamaño de la matriz:  $2(15 + 1)a n_m$

Grosor PML:  $\lambda/4$



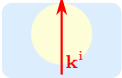
# Esfera soportada y completamente embebida

Incidencia normal: 12.5 AuNP@Aire/BK7

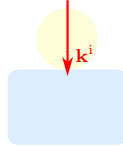
Embedded  
External (EE)



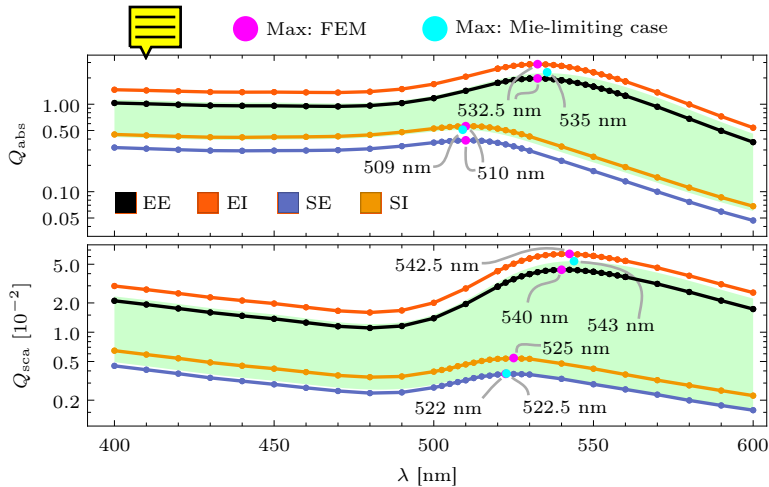
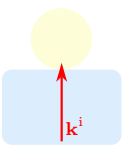
Embedded  
Internal (EI)



Supported  
External (SE)

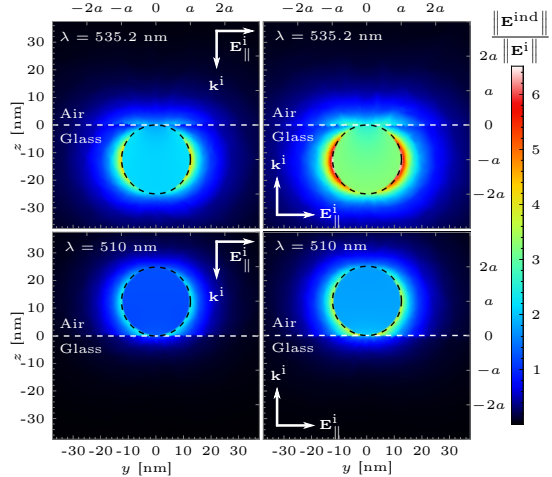
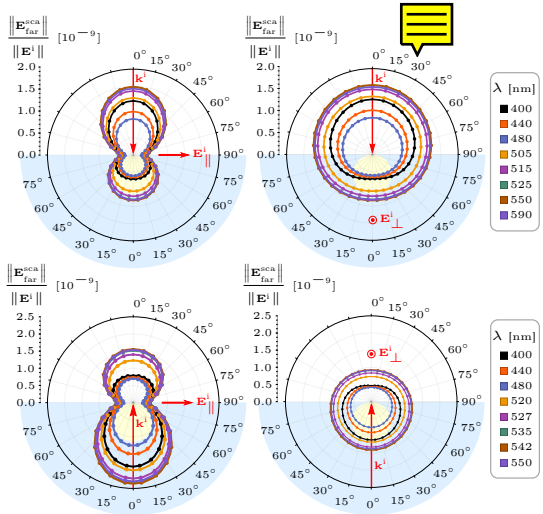


Supported  
Internal (SI)



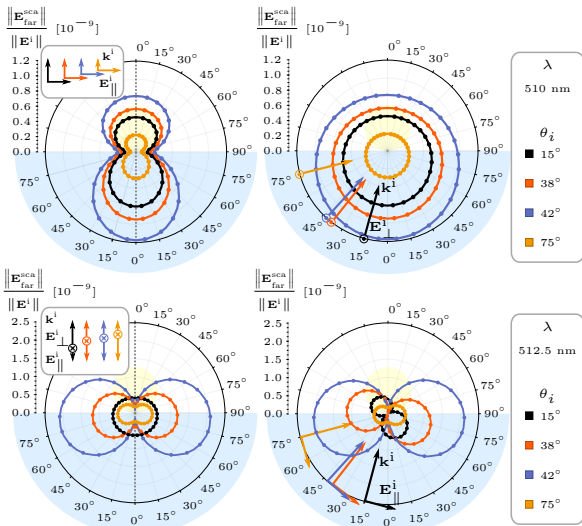
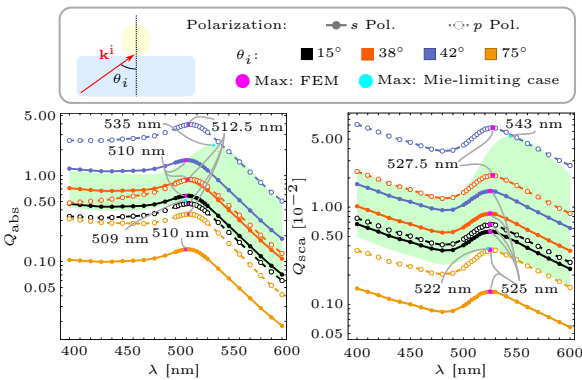
# Esfera soportada y completamente embebida

Incidencia normal: 12.5 AuNP@Aire/BK7



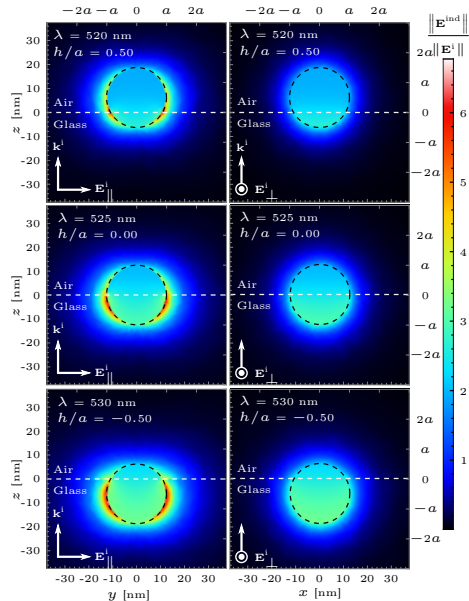
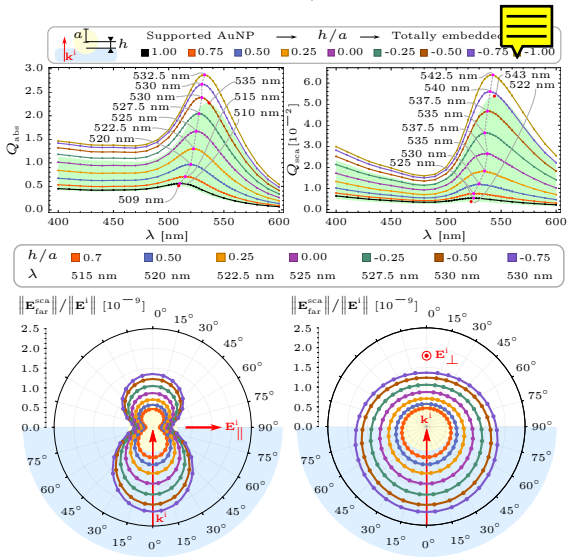
# Esfera soportada en incidencia interna

Incidencia oblicua: 12.5 AuNP@Aire/BK7



# Esfera parcialmente incrustada

Incidencia normal: 12.5 AuNP@Aire/BK7

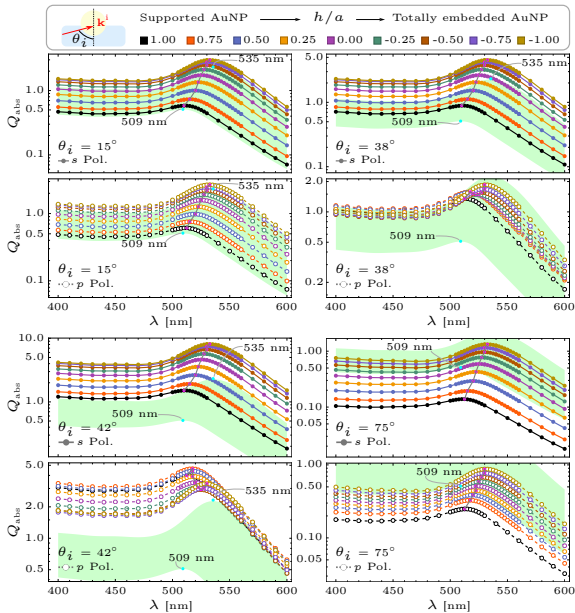


# Esfera parcialmente incrustada

Incidencia oblicua: 12.5 AuNP@Aire/BK7



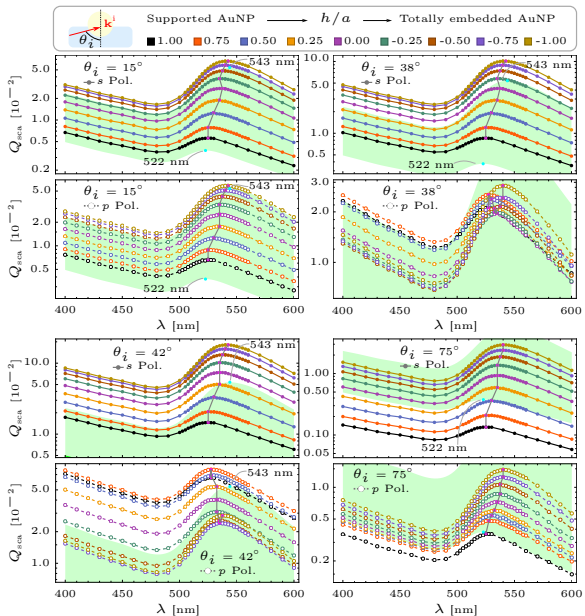
		$\lambda_{\text{res}}^{\text{abs}}$ [nm]				
	$h/a$	0°	15°	38°	42°	75°
s Polarization	1.00	510	510	510	510	512.5
	0.75	515	515	515	515	515
	0.50	520	520	520	520	520
	0.25	522.5	522.5	522.5	522.5	522.5
	0.00	525	525	525	525	525
	-0.25	527	527	527	527	527
	-0.50	530	530	530	530	530
	-0.75	530	530	530	530	530
	-1.00	532.5	532.5	532.5	532.5	532.5
p Polarization	1.00	510	512.5	512.5	512.5	512.5
	0.75	515	515	517.5	517.5	517.5
	0.50	520	520	517.5	517.5	520
	0.25	522.5	525.5	520	517.5	525.5
	0.00	525	525	522.5	520	522.5
	-0.25	527	527	525	522.5	525
	-0.50	530	530	527	525	527
	-0.75	530	530	530	527	530
	-1.00	532.5	532.5	530	530	530



# Esfera parcialmente incrustada

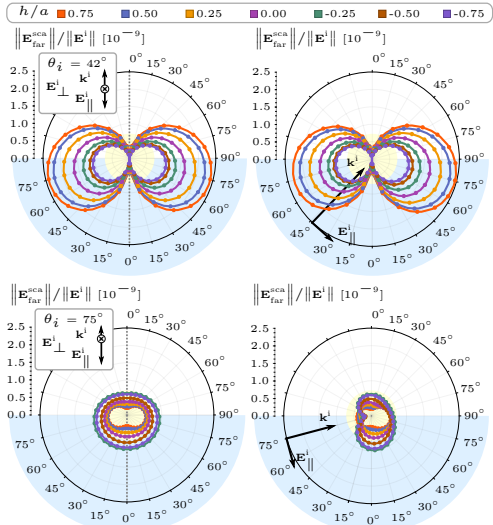
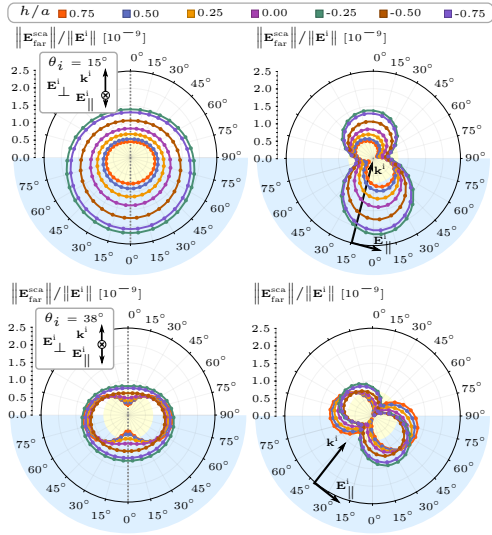
Incidencia oblicua: 12.5 AuNP@Aire/BK7

		$\lambda_{\text{res}}^{\text{sca}}$ [nm]				
	$h/a$	0°	15°	38°	42°	75°
s Polarization	1.00	525	525	525	525	525
	0.75	525	525	525	525	525
	0.50	530	530	530	530	530
	0.25	535	535	535	535	535
	0.00	537.5	537.5	537.5	535	535
	-0.25	535	535	535	535	535
	-0.50	537.5	537.5	537.5	537.5	537.5
	-0.75	540	540	540	540	540
	-1.00	542.5	542.5	542.5	542.5	540
p Polarization	1.00	525	525	527.5	527.5	525
	0.75	525	525	527.5	527.5	527.5
	0.50	530	530	530	527.5	530
	0.25	535	535	532.5	532.5	532.5
	0.00	537.5	535	535	535	535
	-0.25	535	535	532.5	535.5	537.5
	-0.50	537.5	537.5	537.5	535	537.5
	-0.75	540	540	540	535	540
	-1.00	542.5	542.5	540	537.5	540



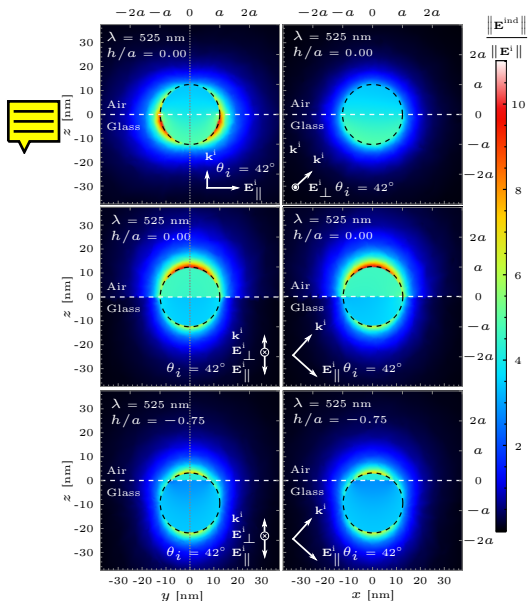
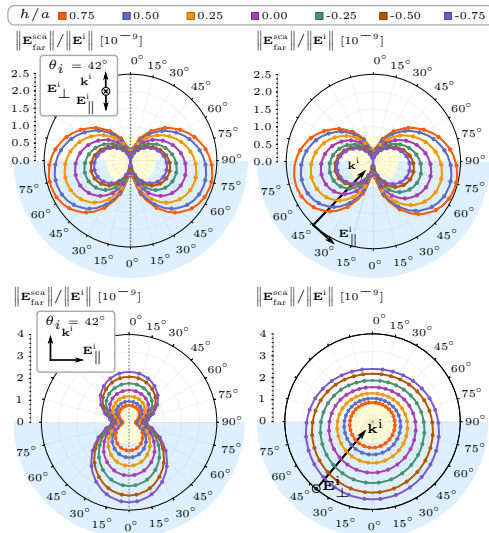
# Esfera parcialmente incrustada

Incidencia oblicua en polarización  $p$ : 12.5 AuNP@Aire/BK7



# Esfera parcialmente incrustada

Incidencia después del ángulo crítico: 12.5 AuNP@Aire/BK7

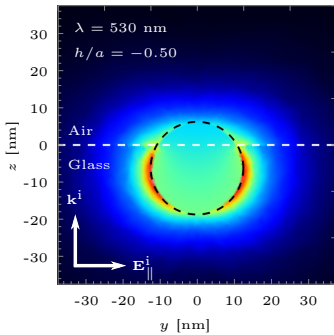


# Resumen

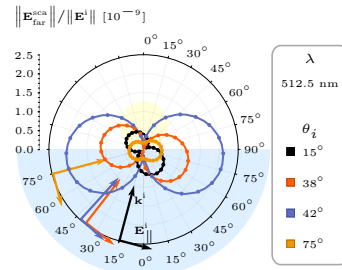
## Efecto del sustrato

Anisotropía:

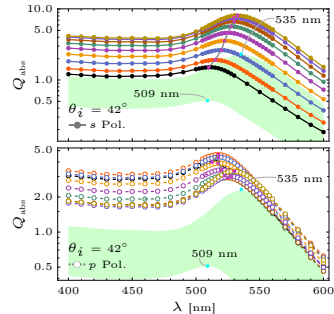
- ▶ Campo cercano
- ▶ Patrón de radiación



- ## Efecto de la iluminación
- ▶ Partícula parcialmente embebida e **incidente** interna
    - ▶ Onda plana  $\theta_i < \theta_c$
    - ▶ Onda evanescente  $\theta_i > \theta_c$
  - ▶ Maximización de propiedades ópticas  $\theta_i \approx \theta_c$



- ## Efecto de la incrustación
- ▶ Corrimiento al rojo (LSPR)
  - ▶ Aumento de la extinción
  - ▶ Pol. *s*:
    - ▶ Proceso homogéneo
  - ▶ Pol. *p*:
    - ▶  $h/a$  y  $\theta_i$

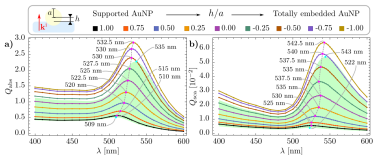


# Conclusiones

Para una AuNP de 12.5 nm de radio parcialmente embebida entre un sustrato plano y una matriz

## Transición

- Contribución mayormente dipolar
- Transición *suave* entre los dos casos límites de Mie



## Incrustación

- A lo más un octavo del volumen en
- Sustrato → AuNP soportada
  - Matriz → AuNP totalmente embebida

$h/a$	$\lambda_{scat}^{max}$ [nm]									
	0°	15°	38°	42°	75°	0°	15°	38°	42°	75°
1.00	510	510	510	510	512.5	525	525	525	525	525
0.75	515	515	515	515	515	525	525	525	525	525
0.50	520	520	520	520	520	530	530	530	530	530
0.25	522.5	522.5	522.5	522.5	522.5	535	535	535	535	535
0.00	525	525	525	525	525	537.5	537.5	537.5	535	535
-0.25	527	527	527	527	527	535	535	535	535	535
-0.50	530	530	530	530	530	537.5	537.5	537.5	537.5	537.5
-0.75	530	530	530	530	530	540	540	540	540	540
-1.00	532.5	532.5	532.5	532.5	532.5	542.5	542.5	542.5	540	540

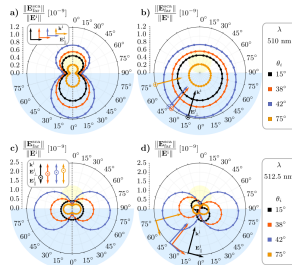
$p$ Polarization	$\lambda_{scat}^{max}$ [nm]									
	0°	15°	38°	42°	75°	0°	15°	38°	42°	75°
1.00	510	512.5	512.5	512.5	512.5	525	525	527.5	527.5	525
0.75	515	515	517.5	517.5	517.5	525	525	527.5	527.5	527.5
0.50	520	520	517.5	517.5	520	530	530	530	527.5	530
0.25	522.5	525.5	520	517.5	522.5	535	535	532.5	532.5	532.5
0.00	525	525	522.5	520	522.5	537.5	535	535	535	535
-0.25	527	525	525	525	525	535	535	532.5	532.5	537.5
-0.50	530	530	527	525	527	537.5	537.5	537.5	535	535
-0.75	530	530	530	527	530	540	540	540	535	540
-1.00	532.5	532.5	530	530	530	542.5	542.5	540	537.5	540

## Iluminación

Resonancia y la distribución espacial del campo eléctrico

- Pol.  $s$ : no dependen de el ángulo de incidencia.
- Pol.  $p$ : sí dependen de el ángulo de incidencia.

$\theta_i \approx \theta_c$ : Maximización de la extinción



# Trabajo a futuro

Para una NP parcialmente embebida entre un sustrato plano y una matriz

## Propiedades ópticas del meta-átomo (Cálculos numéricos)

Determinar secciones transversales como función de la longitud de onda  $\lambda$  y polarización de la onda plana que ilumina el sistema, del ángulo de incidencia  $\theta_i$  y el grado de incrustación  $h/a$  del meta-átomo.

### Homogenización + Medio efectivo

Proponer un modelo semi-analítico para la respuesta óptica de una monocapa parcialmente incrustada:

- ▶ Homogenización tipo Brüggeman<sup>1</sup> del índice de refracción efectivo que envuelve a las NPs.
- ▶ Empleo de teorías como el Modelo Dipolar<sup>2</sup>, Teoría de Islas Delgadas<sup>3</sup> para la respuesta del sistema monocapa.

### Medición del incrustamiento promedio

Propuesta de un esquema de medición para medir el incrustamiento promedio de la monocapa:

- ▶ Medición de la  $\lambda_{\text{res}}$  para al menos dos valores de  $\theta_i > \theta_c$  en ambas polarizaciones.
- ▶ Comparar el corrimiento de  $\lambda_{\text{res}}$  relativo entre ambas polarizaciones.
- ▶ Con base en las propiedades de un meta-átomo determinar a qué valores de  $h/a$  corresponden las mediciones anteriores.

<sup>1</sup> A. Sihvola. *Electromagnetic Mixing Formulas and Applications*. Electronic Waves. The Institution of Engineering y Technology, 2008

<sup>2</sup> R. G. Barrera et al. *Phys. Rev. B*, **43**(17):13819-13826, 1991

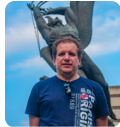
<sup>3</sup> D. Bedeaux et al. *Optical properties of surfaces*. Imperial College Press, London, 2.<sup>a</sup> edición, 2004. 450 páginas

# Agradecimientos

Grupo de Nanoplasmónica, DGAPA, CONACyT, y más...



## Comité tutor



Dr. Reyes Coronado



Dra. Sánchez Aké



Dr. Pirruccio



**CONACYT**

Consejo Nacional de Ciencia y Tecnología



**dgapa**

Dirección General de Asuntos  
del Personal Académico  
PAPIIT IN107122

# Secciones de apoyo

4 Armónicos esféricos vectoriales

5 Solución de Mie

6 Elemento finito

7 Condiciones de frontera abierta

Condición de radiación de Sommerfeld

*Perfect Matching Layer*

8 Función dieléctrica: Corrección por tamaño

9 Análisis de convergencia: Mie vs. COMSOL

# Armónicos esféricos vectoriales<sup>1</sup>: $\{\mathbf{L}, \mathbf{M}, \mathbf{N}\}$

Base de campos vectoriales que son solución a la ecuación de Helmholtz



$$\mathbf{L} = \nabla\psi$$

$$\mathbf{M} = \nabla \times (\mathbf{r}\psi)$$

$$\mathbf{N} = \frac{1}{k} \nabla \times \mathbf{M}$$

$$\text{Función generadora } \psi : \quad \nabla^2\psi + k^2\psi = 0$$

Considerando el sistema coordenado esférico:

$$\psi_{\text{o}}^{\text{e}}{}_{\ell m}(r, \theta, \varphi) = \frac{\sin(m\varphi)}{\cos(m\varphi)} P_{\ell}^m(\cos\theta) z_{\ell}(kr),$$

$$\begin{aligned} \mathbf{L}_{\text{o}}^{\text{e}}{}_{\ell m} &= \frac{\cos(m\varphi)}{\sin(m\varphi)} k P_{\ell}^m(\cos\theta) \frac{dz_{\ell}(kr)}{d(kr)} \hat{\mathbf{e}}_r + \frac{\cos(m\varphi)}{\sin(m\varphi)} k \frac{z_{\ell}(kr)}{kr} \frac{dP_{\ell}^m(\cos\theta)}{d\theta} \hat{\mathbf{e}}_{\theta} + \\ &\quad - \sin(m\varphi) km \frac{P_{\ell}^m(\cos\theta)}{\sin\theta} \frac{z_{\ell}(kr)}{kr} \hat{\mathbf{e}}_{\varphi} \\ &\quad + \cos(m\varphi) km \frac{P_{\ell}^m(\cos\theta)}{\sin\theta} \frac{z_{\ell}(kr)}{kr} \hat{\mathbf{e}}_{\varphi} \end{aligned}$$

$$\begin{aligned} \mathbf{M}_{\text{o}}^{\text{e}}{}_{\ell m} &= -\frac{\sin(m\varphi)}{\cos(m\varphi)} m z_{\ell}(kr) \frac{P_{\ell}^m(\cos\theta)}{\sin\theta} \hat{\mathbf{e}}_{\theta} - \frac{\cos(m\varphi)}{\sin(m\varphi)} z_{\ell}(kr) \frac{dP_{\ell}^m(\cos\theta)}{d\theta} \hat{\mathbf{e}}_{\varphi} \end{aligned}$$

$$\begin{aligned} \mathbf{N}_{\text{o}}^{\text{e}}{}_{\ell m} &= \frac{\cos(m\varphi)}{\sin(m\varphi)} \frac{z_{\ell}(kr)}{kr} \ell(\ell+1) P_{\ell}^m(\cos\theta) \hat{\mathbf{e}}_r + \frac{\cos(m\varphi)}{\sin(m\varphi)} \frac{1}{kr} \frac{d[kr z_{\ell}(kr)]}{d(kr)} \frac{dP_{\ell}^m(\cos\theta)}{d\theta} \hat{\mathbf{e}}_{\theta} + \\ &\quad - \sin(m\varphi) m \frac{1}{kr} \frac{d[kr z_{\ell}(kr)]}{d(kr)} \frac{P_{\ell}^m(\cos\theta)}{\sin\theta} \hat{\mathbf{e}}_{\varphi} \\ &\quad + \cos(m\varphi) m \frac{1}{kr} \frac{d[kr z_{\ell}(kr)]}{d(kr)} \frac{P_{\ell}^m(\cos\theta)}{\sin\theta} \hat{\mathbf{e}}_{\varphi} \end{aligned}$$

$P_m^{\ell}$ : Funciones asociadas de Legendre

$z_{\ell}$ : Funciones esféricas de Bessel (Hankel)

Comportamiento asintótico<sup>2</sup> de  $h_{\ell}^{(1)} = j_{\ell} + iy_{\ell}$ :

$$h_{\ell}^{(1)}(\rho) \approx (-i)^{\ell} \frac{\exp(i\rho)}{i\rho}$$

$$\frac{dh_{\ell}^{(1)}(\rho)}{d\rho} \approx (-i)^{\ell} \frac{\exp(i\rho)}{\rho},$$

<sup>1</sup> L. Tsang et al. *Scattering of Electromagnetic Waves: Theories and Applications*. John Wiley & Sons, Inc., New York, USA, 2000

<sup>2</sup> C. F. Bohren et al. *Absorption and Scattering of Light by Small Particles*. Wiley Science Paperbak Series. John Wiley & Sons, 1.<sup>a</sup> edición, 1983

# Solución de Mie<sup>1,2</sup>

Esparcimiento de luz por partículas esféricas embebidas en medios infinitos



$$\mathbf{E}^i(\mathbf{r}) = E_0 \sum_{\ell=1}^{\infty} \frac{i^\ell (2\ell+1)}{\ell(\ell+1)} \left( \mathbf{M}_{o1\ell}^{(1)} - i\mathbf{N}_{e1\ell}^{(1)} \right)$$

$$(1) \implies z_\ell(\rho) = j_\ell(\rho)$$

$$\mathbf{E}^{sca}(\mathbf{r}) = E_0 \sum_{\ell=1}^{\infty} \frac{i^\ell (2\ell+1)}{\ell(\ell+1)} \left( i a_\ell \mathbf{N}_{e1\ell}^{(3)} - b_\ell \mathbf{M}_{o1\ell}^{(3)} \right)$$

$$(3) \implies z_\ell(\rho) = h_\ell^{(1)}(\rho) = j_\ell(\rho) + i y_\ell(\rho)$$

- ▶ Funciones angulares:  $\pi_\ell(\cos \theta) = \frac{P_\ell^1(\cos \theta)}{\sin \theta}$        $\tau_\ell(\cos \theta) = dP_\ell^1(\cos \theta)/d\theta$
- ▶ Funciones de Riccati-Bessel:  $\psi_\ell(\rho) = \rho j_\ell(\rho)$        $\xi(\rho) = \rho h^{(1)}(\rho)$
- ▶ Parámetro de tamaño:  $x = ka = 2\pi n \frac{a}{\lambda}$
- ▶ Coeficientes de Mie:  $a_\ell = \frac{\psi_\ell(x)\psi'_\ell(mx) - m\psi_\ell(mx)\psi'_\ell(x)}{\xi_\ell(x)\psi'_\ell(mx) - m\psi_\ell(mx)\xi'_\ell(x)}$        $b_\ell = \frac{m\psi_\ell(x)\psi'_\ell(mx) - \psi_\ell(mx)\psi'_\ell(x)}{m\xi_\ell(x)\psi'_\ell(mx) - \psi_\ell(mx)\xi'_\ell(x)}$
- ▶ Secciones transversales:  $C_{ext} = \frac{2\pi}{k^2} \sum_{\ell=1}^{\infty} (2\ell+1) \operatorname{Re}(a_\ell + b_\ell)$        $C_{sca} = \frac{2\pi}{k^2} \sum_{\ell=1}^{\infty} (2\ell+1) (|a_\ell|^2 + |b_\ell|^2)$
- ▶ Resonancia de plasmón de superficie localizada (LSPR):
  - $\xi_\ell(x)\psi'_\ell(mx) - m\psi_\ell(mx)\xi'_\ell(x) \rightarrow 0$     (LSPR eléctrica)
  - $m\xi_\ell(x)\psi'_\ell(mx) - \psi_\ell(mx)\xi'_\ell(x) \rightarrow 0$     (LSPR magnética)

<sup>1</sup> C. F. Bohren et al. *Absorption and Scattering of Light by Small Particles*. Wiley Science Paperbak Series. John Wiley & Sons, 1.<sup>a</sup> edición, 1983

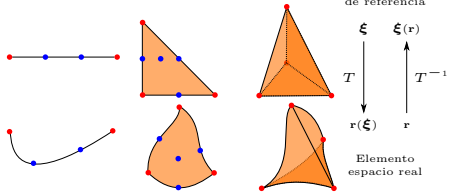
<sup>2</sup> L. Tsang et al. *Scattering of Electromagnetic Waves: Theories and Applications*. John Wiley & Sons, Inc., New York, USA, 2000

# Elementos finitos<sup>1,2</sup>

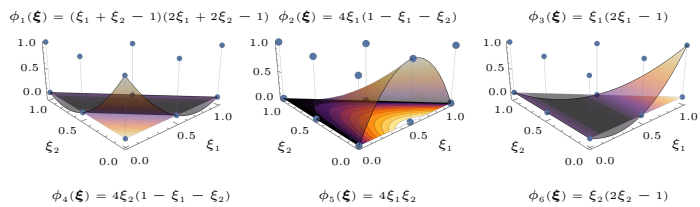
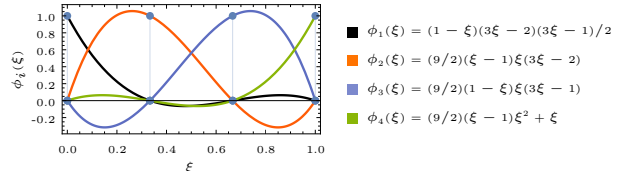
Sistema real, de referencia y ejemplos

$$\frac{\partial}{\partial r_i} = \frac{\partial \xi_i}{\partial r_j} \frac{\partial}{\partial \xi_j} \quad d\Omega_k \rightarrow \det[\mathbb{J}] d\Omega_k$$

Elemento en 1D    Elemento en 2D    Elemento en 3D  
(Orden cúbico)    (Orden cuadrático)    (Orden lineal)



$$\mathcal{F}_\ell^L[f(\xi)] = f(\xi_{\ell_k})$$



<sup>1</sup> G. Dhatt et al. *Finite element method*. Numerical methods series. ISTE ; Wiley, London : Hoboken, N.J, 2012

<sup>2</sup> C. A. J. Fletcher. *Computational Galerkin Methods*. Springer Berlin Heidelberg, Berlin, Heidelberg, 1984

# Condición de radiación de Sommerfeld generalizada

Contribuciones eléctricas y magnéticas debido a cargas y corrientes externas e inducidas<sup>1,2</sup>

Descomposición en contribuciones eléctricas y magnéticas:

$$\mathbf{E} = \mathbf{E}_e + \mathbf{E}_m \quad \text{y} \quad \mathbf{H} = \mathbf{H}_e + \mathbf{H}_m$$

$$\nabla \cdot (\epsilon \mathbf{E}_e) = \rho_{\text{ext}}$$

$$\nabla \cdot (\epsilon \mathbf{E}_m) = 0$$

$$\nabla \cdot (\mu \mathbf{H}_e) = 0$$

$$\nabla \cdot (\mu \mathbf{H}_m) = \rho_m$$

$$\nabla \times \mathbf{E}_e = i\omega \mu \mathbf{H}_e$$

$$\nabla \times \mathbf{E}_m = i\omega \mu \mathbf{H}_m + \mathbf{J}_m$$

$$\nabla \times \mathbf{H}_e = \mathbf{J}_{\text{ext}} - i\omega \epsilon \mathbf{E}_e$$

$$\nabla \times \mathbf{H}_m = -i\omega \epsilon \mathbf{E}_m$$

Imponiendo la norma de Lorenz se cumple que

$$\nabla \cdot \mathbf{A} = -i\omega \mu \epsilon \phi_e \quad \text{y} \quad \nabla \cdot \mathbf{F} = -i\omega \mu \epsilon \phi_m$$

por lo que

$$\mathbf{E} = -\frac{\nabla[\nabla \cdot \mathbf{A}]}{i\omega \epsilon \mu} + i\omega \mathbf{A} + \frac{1}{\epsilon} \nabla \times \mathbf{F} \quad \mathbf{H} = -\frac{\nabla[\nabla \cdot \mathbf{F}]}{i\omega \epsilon \mu} + i\omega \mathbf{F} + \frac{1}{\mu} \nabla \times \mathbf{A}$$

donde

$$\mathbf{A} = \frac{\mu}{4\pi} \int_{\Omega} \mathbf{J}_{\text{ext}} \frac{\exp[i\mathbf{k} \cdot (\mathbf{r} - \mathbf{r}')]}{\|\mathbf{r} - \mathbf{r}'\|} d\Omega'$$

$$\mathbf{F} = \frac{\epsilon}{4\pi} \int_{\Omega} \mathbf{J}_m \frac{\exp[i\mathbf{k} \cdot (\mathbf{r} - \mathbf{r}')]}{\|\mathbf{r} - \mathbf{r}'\|} d\Omega'$$

<sup>1</sup> J.-M. Jin. *Theory and Computation of Electromagnetic Fields*. Wiley & Sons, 2010

<sup>2</sup> A. Bondeson et al. *Computational electromagnetics*. Springer, New York, N.Y., 2005

# Condición de radiación de Sommerfeld generalizada<sup>1</sup>

Comportamiento en el régimen de campo lejano 

En el régimen de campo lejano<sup>2</sup>:

$$\mathbf{A} = \frac{\mu \exp(ikr)}{4\pi r} \mathbf{N},$$

$$\text{con } \mathbf{N} = \int_{\Omega} \mathbf{J}_{\text{ext}} \exp(-i\mathbf{k} \cdot \mathbf{r}') d\Omega'$$

$$\mathbf{F} = \frac{\varepsilon \exp(ikr)}{4\pi r} \mathbf{L},$$

$$\text{con } \mathbf{L} = \int_{\Omega} \mathbf{J}_{\text{m}} \exp(-i\mathbf{k} \cdot \mathbf{r}') d\Omega'$$

por lo que los campos electromagnéticos se escriben como<sup>2</sup>

$$\left. \begin{array}{lcl} \lim_{r \rightarrow \infty} \mathbf{E} & = & -ik \frac{\exp(ikr)}{4\pi r} \left[ \hat{\mathbf{e}}_r \times \mathbf{L} - \sqrt{\frac{\mu}{\varepsilon}} \left( \mathbf{N} - (\hat{\mathbf{e}}_r \cdot \mathbf{N}) \hat{\mathbf{e}}_r \right) \right] \\ \lim_{r \rightarrow \infty} \mathbf{H} & = & ik \frac{\exp(ikr)}{4\pi r} \left[ \sqrt{\frac{\varepsilon}{\mu}} \left( \mathbf{L} - (\hat{\mathbf{e}}_r \cdot \mathbf{L}) \hat{\mathbf{e}}_r + \hat{\mathbf{e}}_r \times \mathbf{N} \right) \right] \end{array} \right\} \Rightarrow \lim_{r \rightarrow \infty} \left( \hat{\mathbf{e}}_r \times \mathbf{E} - \sqrt{\frac{\mu}{\varepsilon}} \mathbf{H} \right) = \mathbf{0}$$

Empleando la ley de Faraday-Lenz:

## Condición de radiación de Sommerfeld<sup>3</sup>

$$\lim_{r \rightarrow \infty} r(\nabla \times \mathbf{E} - ik\hat{\mathbf{e}}_r \times \mathbf{E}) = \mathbf{0}$$

<sup>1</sup> J.-M. Jin. *Theory and Computation of Electromagnetic Fields*. Wiley & Sons, 2010

<sup>2</sup> J. D. Jackson. *Classical electrodynamics*. Wiley, New York, 3.<sup>a</sup> edición, 1999

<sup>3</sup> S. Silver. *Microwave Antenna Theory and Design*. The Institution of Engineering y Technology, 1984. 640 páginas

# Perfect Matching Layer<sup>1,2</sup> (PML)

Propiedades geométricas de  $\Omega_{\text{PML}}$ , dominio que rodea a  $\Omega$

- Elongaciones geométricas<sup>3</sup> y aproximación de campo lejano considerada como válida

$$\nabla_s \equiv \left( \frac{\hat{\mathbf{e}}_x}{s_x} \frac{\partial}{\partial x} + \frac{\hat{\mathbf{e}}_y}{s_y} \frac{\partial}{\partial y} + \frac{\hat{\mathbf{e}}_z}{s_z} \frac{\partial}{\partial z} \right) \rightarrow \mathbf{k} = \frac{k_x}{s_x} \hat{\mathbf{e}}_x + \frac{k_y}{s_y} \hat{\mathbf{e}}_y + \frac{k_z}{s_z} \hat{\mathbf{e}}_z$$

- Factores de deformación complejos:  $s_{x_i} = s_{x_i}(x_i)$ ; en  $\Omega$ ,  $s_{x_i} = 1$

$$\nabla_s \cdot \mathbf{v} = \frac{1}{s_x s_y s_z} \nabla \cdot [\text{diag}(s_y s_z, s_x s_z, s_x s_y) \mathbf{v}]$$

$$\nabla_s \times \mathbf{v} = \text{diag}\left(\frac{1}{s_y s_z}, \frac{1}{s_x s_z}, \frac{1}{s_x s_y}\right) \nabla \times [\text{diag}(s_x, s_y, s_z) \mathbf{v}]$$

- Relación de dispersión de una onda plana:

$$\mathbf{k} \cdot \mathbf{k} = k^2 = \mu \epsilon \omega^2 = \left(\frac{k_x}{s_x}\right)^2 + \left(\frac{k_y}{s_y}\right)^2 + \left(\frac{k_z}{s_z}\right)^2$$

$$k_x = k s_x \sin \theta \cos \varphi \quad k_y = k s_y \sin \theta \sin \varphi \quad k_z = k s_z \cos \theta$$

<sup>1</sup> C. A. J. Fletcher. *Computational Galerkin Methods*. Springer Berlin Heidelberg, Berlin, Heidelberg, 1984

<sup>2</sup> J.-M. Jin. *Theory and Computation of Electromagnetic Fields*. Wiley & Sons, 2010

<sup>3</sup> M. Bergot et al. *Journal of Computational and Applied Mathematics*, **234**(6):1937-1944, 2010

# Perfect Matching Layer (PML)

Condiciones para nulas reflexiones

- ▶ Coeficientes de amplitud de reflexión<sup>1</sup>:

$$r_s = \frac{k_z^{(\text{PML})} s_z^{(\text{PML})} \mu_{\text{PML}} - k_z^{(\Omega)} s_z^{(\Omega)} \mu_\Omega}{k_z^{(\text{PML})} s_z^{(\text{PML})} \mu_{\text{PML}} + k_z^{(\Omega)} s_z^{(\Omega)} \mu_\Omega} \quad r_p = \frac{k_z^{(\text{PML})} s_z^{(\text{PML})} \varepsilon_{\text{PML}} - k_z^{(\Omega)} s_z^{(\Omega)} \varepsilon_\Omega}{k_z^{(\text{PML})} s_z^{(\text{PML})} \varepsilon_{\text{PML}} + k_z^{(\Omega)} s_z^{(\Omega)} \varepsilon_\Omega}$$

- ▶ Condiciones de empalme de fase (componentes paralelas a la interfaz entre  $\Omega$  y  $\Omega_{\text{PML}}$ )

$$\begin{aligned} k^{(\text{PML})} s_x^{(\text{PML})} \sin \theta_{\text{PML}} \cos \varphi_{\text{PML}} &= k^{(\Omega)} s_x^{(\Omega)} \sin \theta_\Omega \cos \varphi_\Omega \\ k^{(\text{PML})} s_y^{(\text{PML})} \sin \theta_{\text{PML}} \sin \varphi_{\text{PML}} &= k^{(\Omega)} s_y^{(\Omega)} \sin \theta_\Omega \sin \varphi_\Omega \end{aligned}$$

## Condiciones para una PML<sup>2</sup>

$$\left. \begin{array}{l} \varepsilon_\Omega = \varepsilon_{\text{PML}}, \quad \mu_\Omega = \mu_{\text{PML}} \\ s_x^{(\Omega)} = s_x^{(\text{PML})}, \quad s_y^{(\Omega)} = s_y^{(\text{PML})} \end{array} \right\} \implies r_s = r_p = 0.$$

Adicionalmente  $\text{Im}[s_z^{(\text{PML})}] < 0$  para que sea un material absorbente.

<sup>1</sup> J. D. Jackson. *Classical electrodynamics*. Wiley, New York, 3.<sup>a</sup> edición, 1999

<sup>2</sup> J.-M. Jin. *Theory and Computation of Electromagnetic Fields*. Wiley & Sons, 2010

# Perfect Matching Layer (PML)

Campos electromagnéticos<sup>1</sup> 

- Relación entre los campos en  $\Omega$  y  $\Omega_{\text{PML}}$

$$\mathbf{E}^{(\Omega)} = \text{diag}(s_x, s_y, s_z) \mathbf{E}^{(\text{PML})} \iff \mathbf{E}^{(\text{PML})} = \text{diag}\left(\frac{1}{s_x}, \frac{1}{s_y}, \frac{1}{s_z}\right) \mathbf{E}^{(\Omega)}$$

$$\mathbf{H}^{(\Omega)} = \text{diag}(s_x, s_y, s_z) \mathbf{H}^{(\text{PML})} \iff \mathbf{H}^{(\text{PML})} = \text{diag}\left(\frac{1}{s_x}, \frac{1}{s_y}, \frac{1}{s_z}\right) \mathbf{H}^{(\Omega)}$$

- Transformación de las ecuaciones de Maxwell

$$\nabla_s \cdot (\varepsilon \mathbf{E}^{(\text{PML})}) = 0 \implies \nabla \cdot [\varepsilon \mathbb{A} \mathbf{E}^{(\Omega)}] = 0$$

$$\nabla_s \cdot (\mu \mathbf{H}^{(\text{PML})}) = 0 \implies \nabla \cdot [\mu \mathbb{A} \mathbf{H}^{(\Omega)}] = 0$$

$$\nabla_s \times \mathbf{E}^{(\text{PML})} = i\omega \mu \mathbf{H}^{(\text{PML})} \implies \nabla \times (\mathbf{E}^{(\Omega)}) = i\omega (\mu \mathbb{A}) \mathbf{H}^{(\Omega)}$$

$$\nabla_s \times (\mu \mathbf{H}^{(\text{PML})}) = -i\omega \varepsilon \mathbf{E}^{(\text{PML})} \implies \nabla \times [\mu \mathbb{A} \mathbf{E}^{(\Omega)}] = -i\omega (\varepsilon \mathbb{A}) \mathbf{E}^{(\Omega)}$$

- Matriz de transformación:

$$\mathbb{A} = \text{diag}\left(\frac{s_y s_z}{s_x}, \frac{s_x s_z}{s_y}, \frac{s_x s_y}{s_z}\right)$$

---

<sup>1</sup> J.-M. Jin. *Theory and Computation of Electromagnetic Fields*. Wiley & Sons, 2010

# Función dieléctrica: corrección por tamaño<sup>1</sup>

Contribución intrabanda

- Modelo de Drude:

$$\frac{\varepsilon_{\text{Drude}}(\omega)}{\varepsilon_0} = 1 - \frac{\omega_p^2}{\omega(\omega + i\gamma)}$$

- Constantes de amortiguamiento para partículas esféricas:

$$\gamma_a^{\text{NP}} = \gamma^{\text{Bulk}} + A \frac{v_F}{a} \quad \gamma^{\text{Bulk}} = \frac{v_F}{L}$$

- Corrección: Ajuste y término con efectos de borde

$$\frac{\varepsilon_{\text{Size}}(\omega)}{\varepsilon_0} = \frac{\varepsilon_{\text{Exp}}(\omega)}{\varepsilon_0} + \left( -\frac{\varepsilon_{\text{Drude}}(\omega)}{\varepsilon_0} \Big|_{\gamma=\gamma^{\text{Bulk}}} + \frac{\varepsilon_{\text{Drude}}(\omega)}{\varepsilon_0} \Big|_{\gamma=\gamma_a^{\text{NP}}} \right).$$

- Determinación de parámetros mediante relaciones lineales

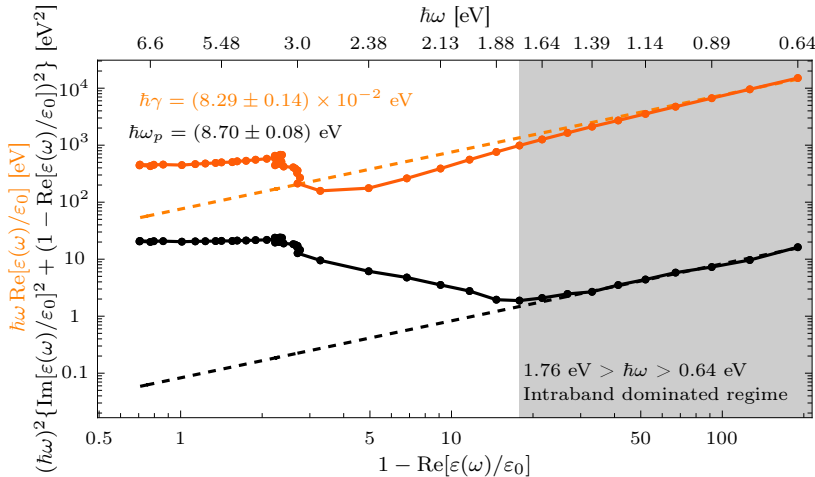
$$\omega \text{Im} \left[ \frac{\varepsilon_{\text{Drude}}(\omega)}{\varepsilon_0} \right] = \gamma \left( 1 - \text{Re} \left[ \frac{\varepsilon_{\text{Drude}}(\omega)}{\varepsilon_0} \right] \right)$$

$$\omega^2 \left\{ \text{Im} \left[ \frac{\varepsilon_{\text{Drude}}(\omega)}{\varepsilon_0} \right]^2 + \left( 1 - \text{Re} \left[ \frac{\varepsilon_{\text{Drude}}(\omega)}{\varepsilon_0} \right] \right)^2 \right\} = \omega_p^2 \left( 1 - \text{Re} \left[ \frac{\varepsilon_{\text{Drude}}(\omega)}{\varepsilon_0} \right] \right)$$

<sup>1</sup> L. J. Mendoza Herrera et al. *Journal of Applied Physics*, **116**(23):233105, 2014

# Función dieléctrica: corrección por tamaño

Determinación de los parámetros de Drude<sup>1</sup> a partir de los datos experimentales del Au en bulto<sup>2</sup>

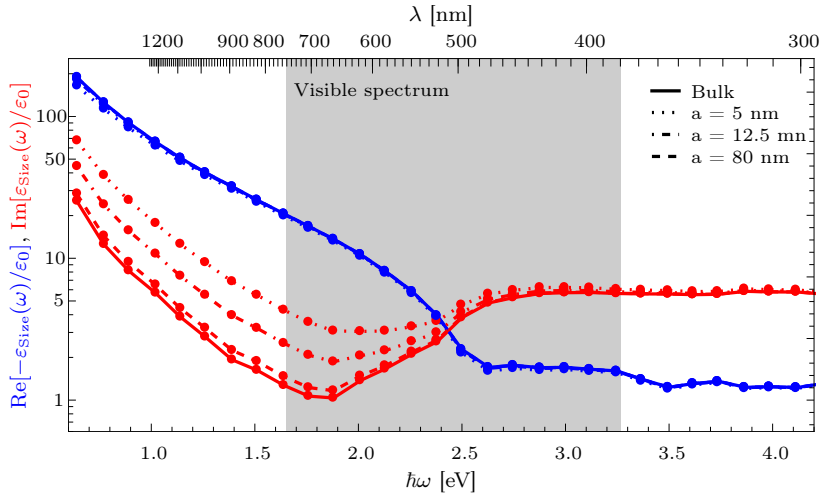


<sup>1</sup> L. J. Mendoza Herrera et al. *Journal of Applied Physics*, **116**(23):233105, 2014

<sup>2</sup> P. B. Johnson et al. *Physical Review B*, **6**(12):4370-4379, 1972

# Función dieléctrica: corrección por tamaño<sup>1</sup>

Función dieléctrica del Au para bulto<sup>2</sup> y nanoesferas de radio  $a$

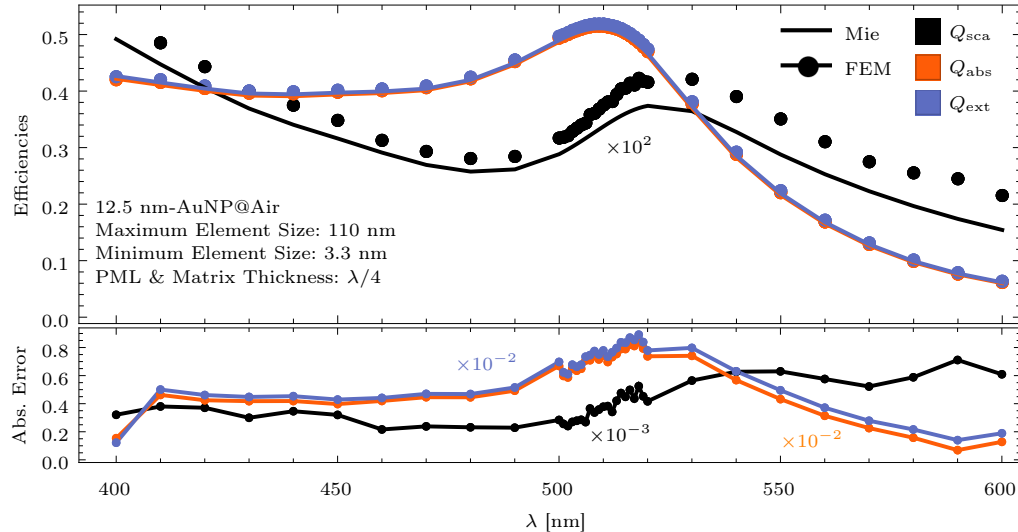


<sup>1</sup> L. J. Mendoza Herrera et al. *Journal of Applied Physics*, 116(23):233105, 2014

<sup>2</sup> P. B. Johnson et al. *Physical Review B*, 6(12):4370-4379, 1972

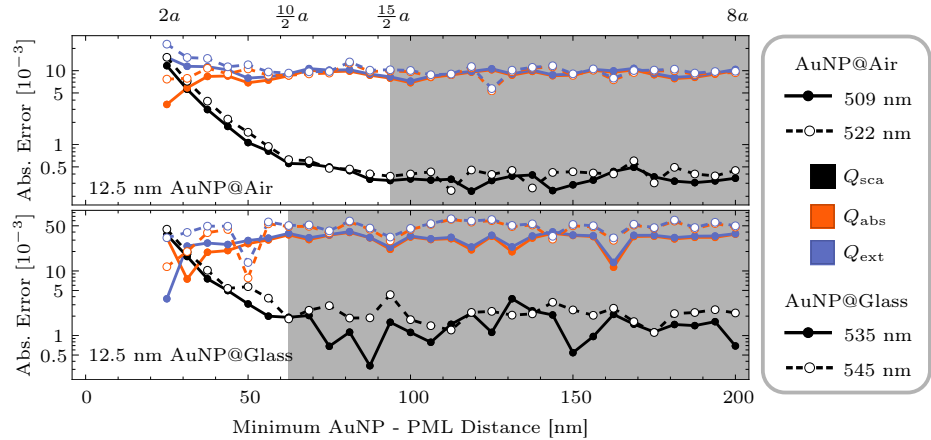
# Análisis de convergencia

COMSOL vs. Solución de Mie: Valores predeterminados



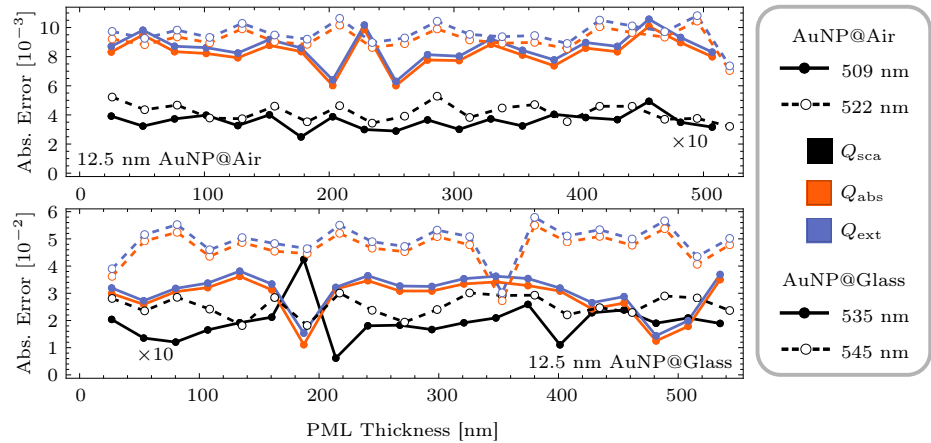
# Análisis de convergencia

COMSOL vs. Solución de Mie: Tamaño de la matriz



# Análisis de convergencia

COMSOL vs. Solución de Mie: Grosor del PML



# Análisis de convergencia

COMSOL vs. Solución de Mie: Mallado de la AuNP

